

Лекция 7 по курсу «Основы цифровой обработки сигналов»

14 октября 2024 г.

4. Основы цифровой фильтрации.

4.1. Дискретные линейные стационарные системы (LTI).

Импульсная характеристика, частотная, амплитудно-частотная и фазочастотная характеристики.

Каузальность и физическая реализуемость.

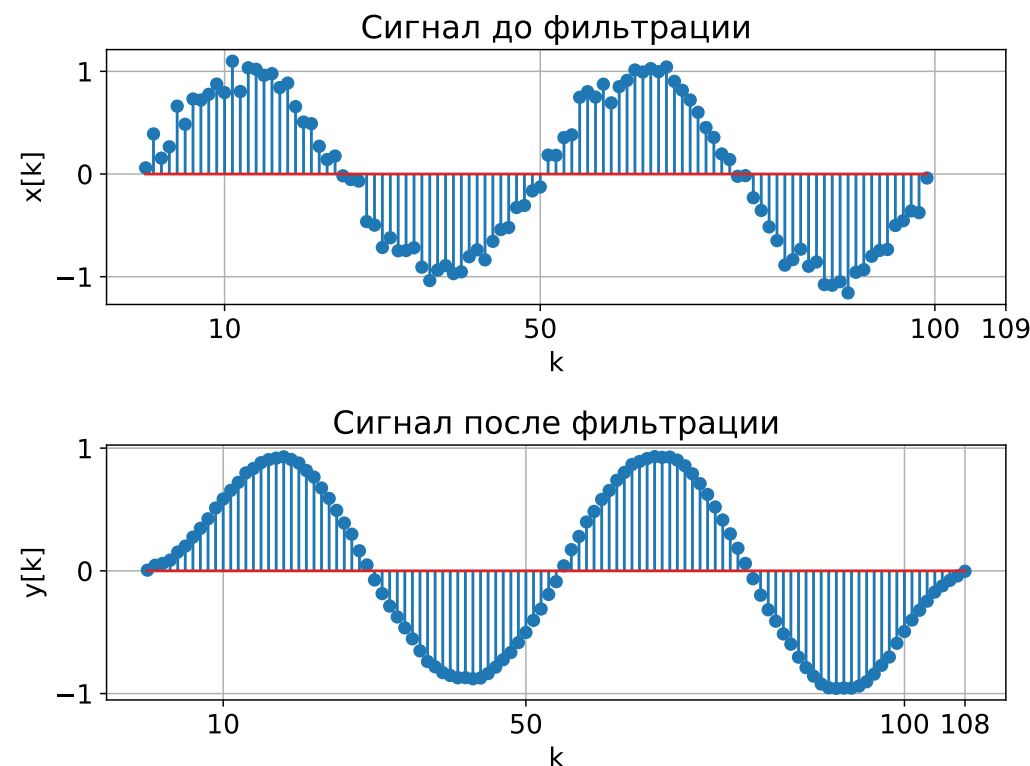
Устойчивость (BIBO).

Разностное уравнение дискретной LTI системы.

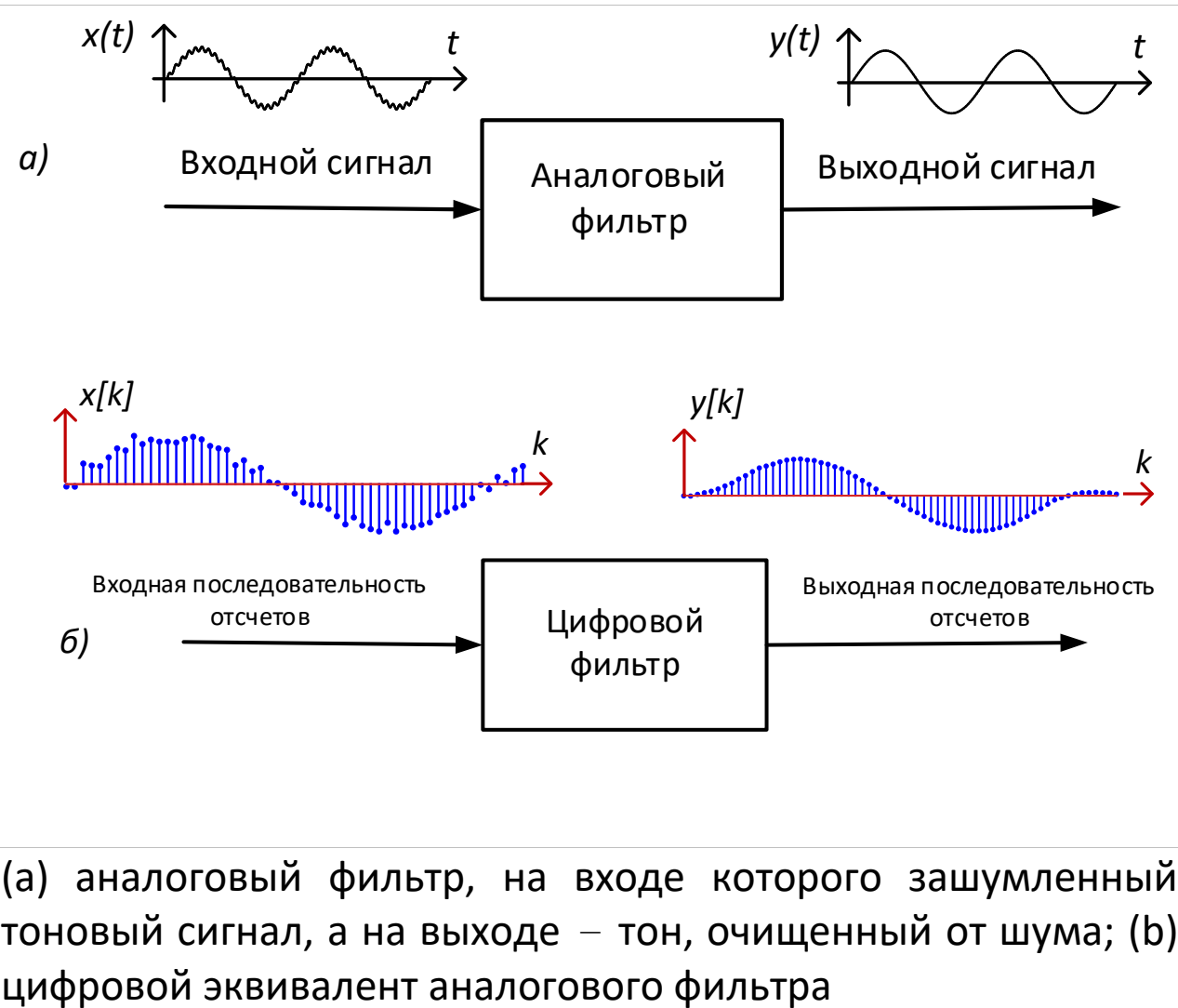
Описание в виде блок-схемы.

4.2. Идеальные частотно-избирательные цифровые фильтры.

Каузальная аппроксимация идеального фильтра нижних частот способом усечения импульсной характеристики и явление Гиббса.



4. Основы цифровой фильтрации.



Лекции блока 2 посвящены цифровой фильтрации.

- Цифровой фильтр преобразует входной цифровой сигнал $x[k]$ в выходной цифровой сигнал $y[k]$ по некоторому алгоритму:

$$y[k] = F(x[k]),$$

где под $y[k]$ и $x[k]$ символически обозначены все отсчеты этих сигналов.

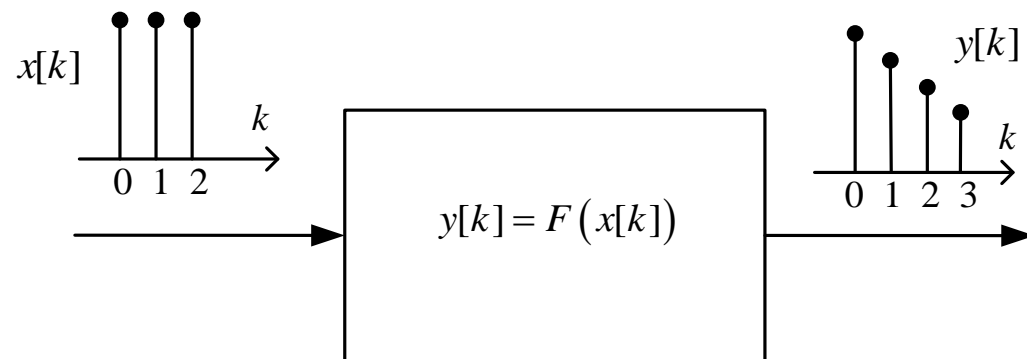
- Примеры способов реализации цифровых фильтров:
 - аппаратная реализация на цифровой интегральной микросхеме,
 - программно-аппаратная реализация на программируемой логической интегральной схеме (ПЛИС),
 - программная реализация — в виде программы для компьютера или микропроцессора.

Понятие линейной стационарной дискретной системы

4.1 Линейные стационарные дискретные системы (LTI)

Понятие линейной стационарной дискретной системы

Под **дискретной системой** будем понимать некоторый объект, преобразующий входной дискретный сигнал $x[k]$ в отклик системы $y[k]$. Мы будем рассматривать только одномерные дискретные системы.

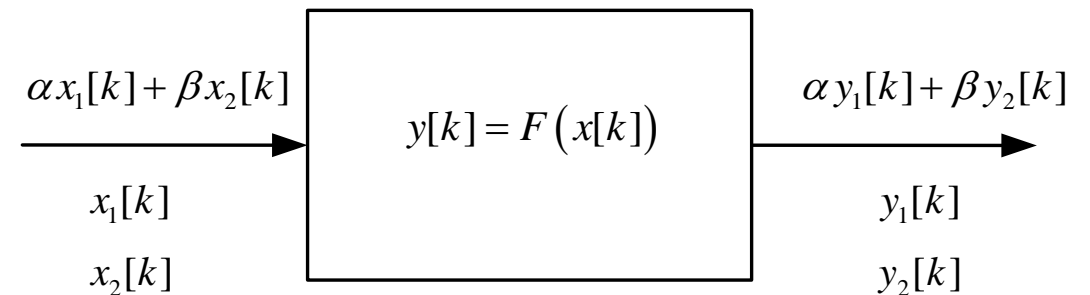


По наличию памяти дискретные системы классифицируются на **статические** и **динамические**. Если в каждый момент времени t выход $y[t]$ системы полностью определяется через входное воздействие в тот же момент времени $x[t]$, то система называется статической, в противном случае — динамической.

Пример статической системы — $y[k] = \sqrt{|x[k]|}$,
динамической системы — $y[k] = \sqrt{|x[k] + x[k-1]|}$.

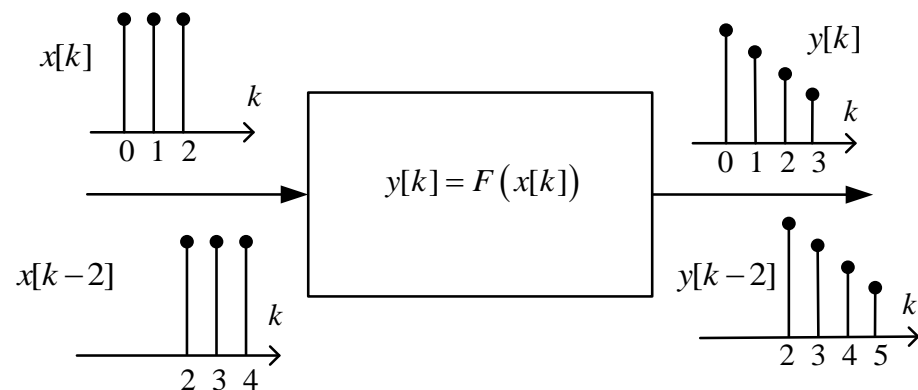
Линейной дискретной системой называется такая дискретная система $y[k] = F(x[k])$, для которой выполнено свойство линейности (**принцип суперпозиции**): если для произвольных входных воздействий $x_1[k]$ и $x_2[k]$, а также чисел α и β выполнено $y_1[k] = F(x_1[k])$ и $y_2[k] = F(x_2[k])$, то

$$F(\alpha x_1[k] + \beta x_2[k]) = \alpha y_1[k] + \beta y_2[k].$$



Понятие линейной стационарной дискретной системы

Дискретная система $y[k] = F(x[k])$ называется **стационарной (инвариантной во времени)**, если для любого входного воздействия $x[k]$, соответствующего ему выхода $y[k] = F(x[k])$ и любого целого числа m выполняется $y[k - m] = F(x[k - m])$. В противном случае система называется **нестационарной**.



Далее будем рассматривать в основном линейные дискретные стационарные системы (**LTI** - Linear time-invariant system).

Пример. Рассмотрим систему, заданную уравнением $y[k] = kx[k]$.

Она является линейной, но при этом система нестационарная.

Вход

$$x_1[k] = \mathbf{1}[k - 1]$$

$$x_2[k] = \mathbf{1}[k - 2]$$

Выход

$$y_1[k] = \mathbf{1}[k - 1]$$

$$y_2[k] = 2 \cdot \mathbf{1}[k - 2]$$

Пример. Рассмотрим пример нелинейной системы $y[k] = \sqrt{|x[k]|}$. Покажем, что это нелинейная система. Возьмем (используя обозначения из определения) $\alpha = 2$, $\beta = 3$, $x_1[k] = x_2[k] = \mathbf{1}[k]$. Тогда

$$\alpha x_1[k] + \beta x_2[k] = 5 \cdot \mathbf{1}[k].$$

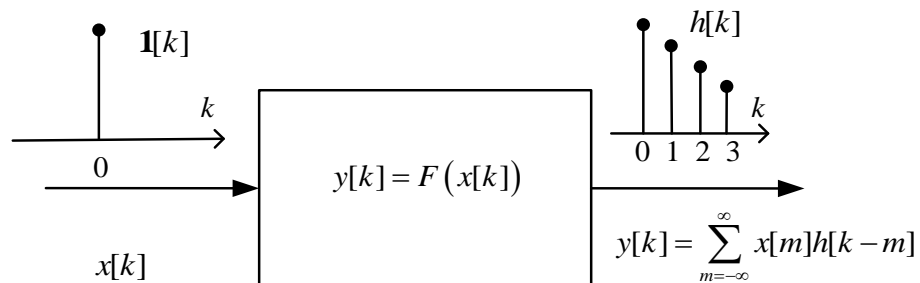
Но при этом $F(\alpha x_1[k] + \beta x_2[k]) = \sqrt{5} \cdot \mathbf{1}[k]$, а значит

$$F(\alpha x_1[k] + \beta x_2[k]) \neq \alpha y_1[k] + \beta y_2[k].$$

Заметим, что при этом система является стационарной.

Импульсная характеристика дискретной LTI системы, КИХ- и БИХ-фильтры

Импульсная характеристика дискретной LTI системы



Обозначим как $h_m[k]$ реакцию дискретной LTI системы на входное воздействие $1[k-m]$. Далее будем считать, что используется инициализация выхода системы для отрицательных моментов времени нулевым значением, т.е. $y[k] = 0, k < 0$.

Произвольное входное воздействие $x[k]$ может быть представлено в виде $x[k] = \sum_m x[m]1[k-m]$.

Тогда выход системы в силу ее линейности представим в виде $y[k] = \sum_m x[m]h_m[k]$.

В силу стационарности системы $h_m[k] = h_0[k-m]$. Тогда

$$y[k] = \sum_{m=-\infty}^{\infty} x[m]h_0[k-m].$$

В итоге выход LTI системы может быть получен с помощью знания ее реакции на единичный импульс в нулевой момент времени $1[k]$ — **импульсной характеристики** $h[k]$. Как правило, индекс $_0$ не используется:

$$y[k] = \sum_{m=-\infty}^{\infty} x[m]h[k-m].$$

Таким образом, выход LTI системы является дискретной сверткой входного воздействия с импульсной характеристикой.

LTI системы-фильтры, для которых импульсная характеристика $h[k]$ является финитная функция, называются фильтрами с конечной импульсной характеристикой (**КИХ - фильтрами**, в англоязычной литературе FIR - Finite impulse response filter).

Если импульсная характеристика $h[k]$ нефинитная функция, то такие системы называются фильтрами с бесконечной импульсной характеристикой (**БИХ - фильтрами**, в англоязычной литературе IIR - Infinite impulse response filter).

Частотная характеристика дискретной LTI системы

Частотная характеристика дискретной LTI системы

Пусть $x[k] \overset{\text{ДВПФ}}{\leftrightarrow} X(\nu)$, $y[k] \overset{\text{ДВПФ}}{\leftrightarrow} Y(\nu)$, $h[k] \overset{\text{ДВПФ}}{\leftrightarrow} H(\nu)$.

По теореме о свертке во временной области для ДВПФ:

$$\sum_{m=-\infty}^{\infty} x[m]h[k-m] \overset{\text{ДВПФ}}{\leftrightarrow} X(\nu)H(\nu).$$

Тогда $Y(\nu) = X(\nu)H(\nu)$. Функция $H(\nu)$ также позволяет полностью описать выход LTI системы и называется **частотной характеристикой**, которая представляет собой ДВПФ импульсной характеристики:

$$H(\nu) = \sum_{k=-\infty}^{\infty} h[k]e^{-j2\pi\nu k}.$$

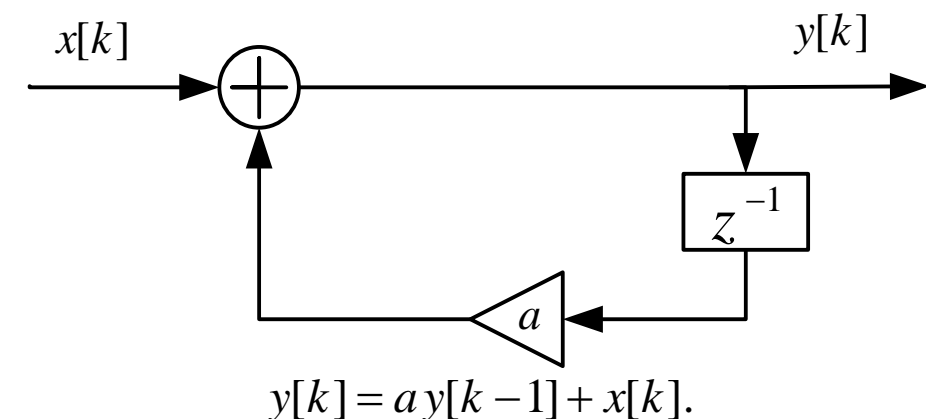
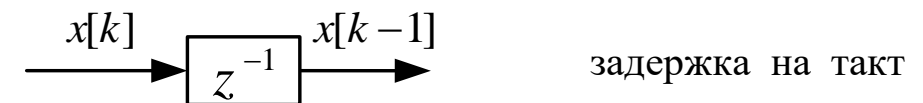
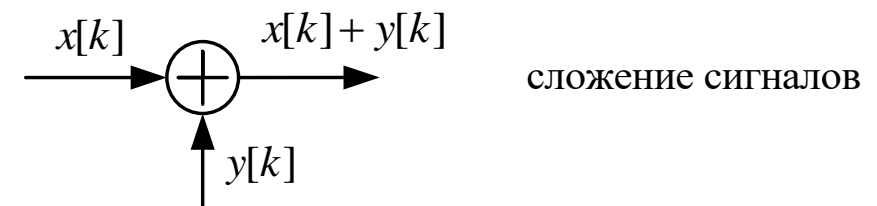
Функция $H(\nu)$ принимает комплексные значения, а значит ее можно переписать с помощью **амплитудно-частотной** $A(\nu) = |H(\nu)|$ (АЧХ) и **фазочастотной** (ФЧХ) $\varphi(\nu) = \angle H(\nu)$ характеристик: $H(\nu) = A(\nu)\exp(j\varphi(\nu))$, $\varphi(\nu) = \angle H(\nu)$,

$$\operatorname{tg}\varphi(\nu) = \frac{\operatorname{Im}(H(\nu))}{\operatorname{Re}(H(\nu))}.$$

Заметим, что функция $H(\nu)$ будет периодична с периодом, равным частоте дискретизации. Если рассматривать

нормированные частоты $\nu = f / f_d$, то период равен 1. Если в качестве частотной переменной взять нормированный угол в радианах $\theta = 2\pi\nu$, то период равен 2π .

Описание в виде блок-схем



Пример. Фильтр скользящего среднего.

Пример. Фильтр скользящего среднего.

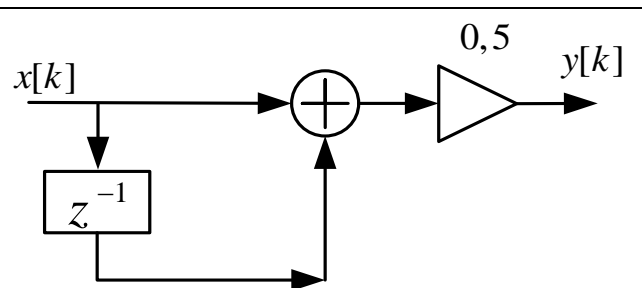
Рассмотрим систему, заданную разностным уравнением

$$y[k] = \frac{1}{M} \sum_{m=0}^{M-1} x[k-m].$$

Это фильтр скользящего среднего.

Для $M = 2$

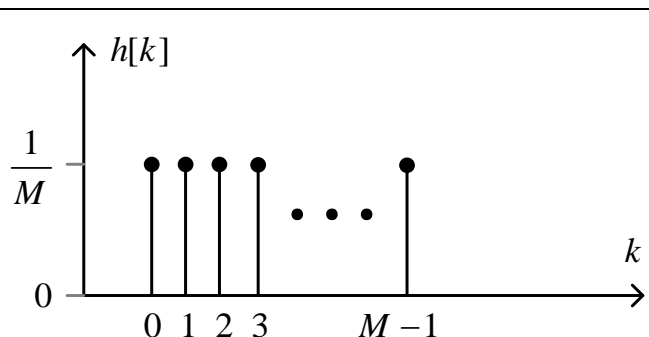
$$y[k] = \frac{x[k] + x[k-1]}{2}.$$



Импульсная характеристика такой системы

$$h[k] = \frac{1}{M} \sum_{m=0}^{M-1} \mathbf{1}[k-m].$$

КИХ-фильтр



Частотная характеристика фильтра.

$$H(\nu) = \sum_{k=-\infty}^{\infty} h[k] \exp(-j2\pi\nu k) = \frac{1}{M} \sum_{k=0}^{M-1} \exp(-j2\pi\nu k) =$$

$$\begin{aligned} &= \frac{1}{M} \frac{1 - \exp(-j2\pi\nu M)}{1 - \exp(-j2\pi\nu)} = \frac{1}{M} \frac{2j e^{-j\pi\nu M} (e^{j\pi\nu M} - e^{-j\pi\nu M})}{e^{-j\pi\nu} (e^{j\pi\nu} - e^{-j\pi\nu})} = \\ &= \frac{1}{M} \frac{\sin(M\pi\nu)}{\sin(\pi\nu)} \exp(-j(M-1)\pi\nu) \end{aligned}$$

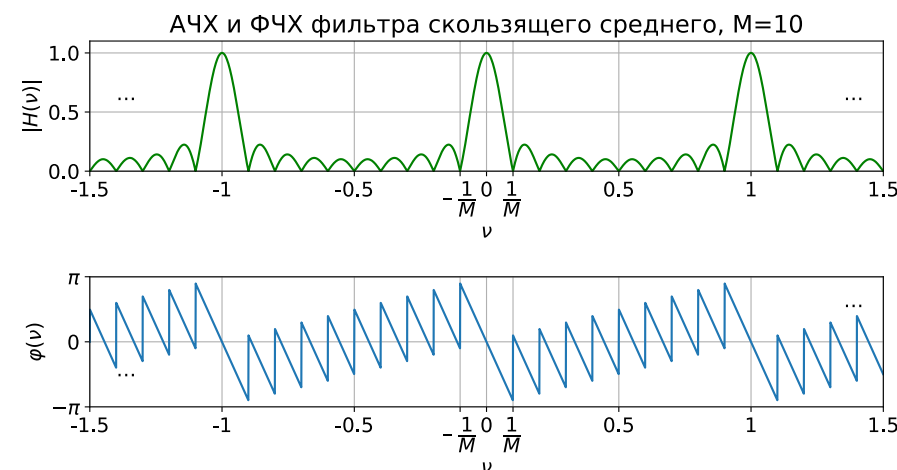
$$H(\nu) = \frac{1}{M} \exp(-j(M-1)\pi\nu) \frac{\sin(M\pi\nu)}{\sin(\pi\nu)},$$

Амплитудно-частотная характеристика (АЧХ)

$$A(\nu) = |H(\nu)| = \frac{1}{M} \left| \frac{\sin(M\pi\nu)}{\sin(\pi\nu)} \right|.$$

Фазочастотная характеристика (ФЧХ), как видно из $H(\nu) = A(\nu) \exp(j\varphi(\nu))$,

$$\varphi(\nu) = -(M-1)\pi\nu \quad \text{при } -1/M < \nu < 1/M.$$



Пример. Фильтр скользящего среднего.

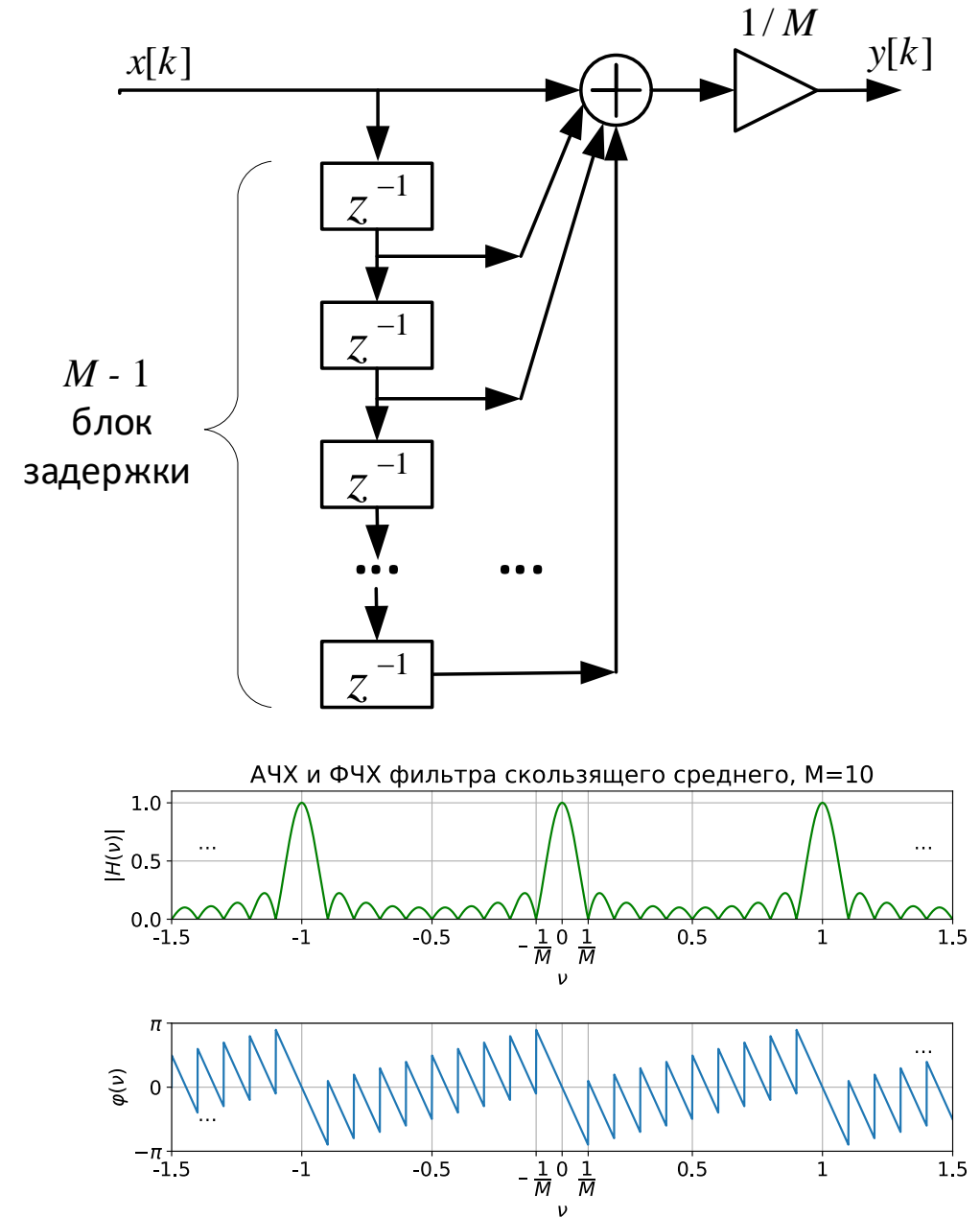
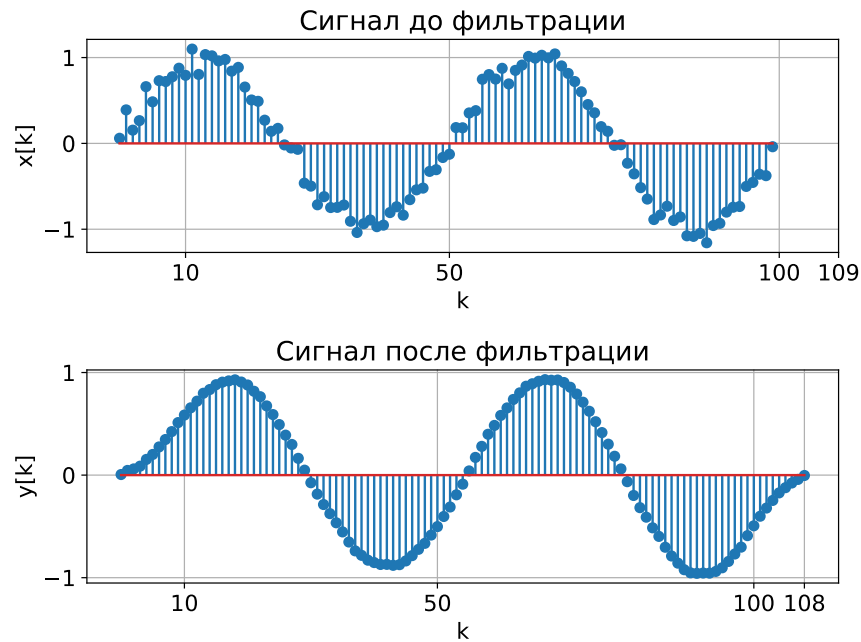
На графике приведен пример фильтрации сигнала

$$x[k] = \sin(2\pi 0.02k) + \varepsilon[k], \quad 0 \leq k \leq 99,$$

где $\varepsilon[k]$ — аддитивный¹ белый гауссовский шум с нулевым математическим ожиданием и среднеквадратическим отклонением $\sigma = 0.1$.

Использовался фильтр скользящего среднего с $M = 10$

$$y[k] = \frac{1}{10} \sum_{m=0}^{M-1} x[k-m].$$



¹ В данном контексте шум аддитивный, поскольку суммируется с основным сигналом.

Каузальность и физическая реализуемость.

✓ 9

Каузальность и физическая реализуемость.

Система называется **каузальной**, если ее выходное воздействие зависит только от значений входного воздействия в предшествующие моменты времени, т.е. выход $y[k]$ системы может быть определен через вход $x[k]$ с помощью некоторой функции G так, что $y[k] = G\{x[k], x[k-1], x[k-2], \dots\}$. В противном случае система некаузальная. Каузальность необходима для **физической реализуемости дискретной системы**.

Критерий каузальности. LTI система каузална тогда и только тогда, когда ее импульсная характеристика $h[k]$ тождественно равна нулю при $k < 0$.

Докажем это.

Как мы установили ранее, отклик $y[k]$ LTI системы определяется через ее входное воздействие $x[k]$ с помощью дискретной свертки:

$$\begin{aligned} y[k] &= \sum_{m=-\infty}^{\infty} x[m]h[k-m] = \sum_{m=-\infty}^{\infty} h[m]x[k-m] = \\ &= \sum_{m=-\infty}^{-1} h[m]x[k-m] + \sum_{m=0}^{\infty} h[m]x[k-m]. \end{aligned}$$

Если импульсная характеристика каузална, то выход системы зависит только от сигнала на входе в предшествующие моменты времени $x[k]$, $x[k-1]$, $x[k-2]$, $x[k-3]$, ..., а значит и сама система каузална.

Если система каузална, то ее выход зависит от значений на входе только в предшествующие моменты времени $x[k]$, $x[k-1]$, $x[k-2]$, $x[k-3]$, ... Эти значения могут быть произвольные. Значит $h[k]$ тождественно равна нулю при $k < 0$.

Пример. Фильтр скользящего среднего

$$y[k] = \frac{1}{M} \sum_{m=0}^{M-1} x[k-m]$$

является каузальным, т.к. выход системы зависит только от значения сигнала на входе в текущий и предыдущие моменты времени. Он реализуем в реальном времени. Его импульсная характеристика также каузална.

Устойчивость по входу (BIBO)

Устойчивость по входу (BIBO)

Для дискретных систем вводится понятие устойчивости по входу (BIBO - bounded-input bounded-output). Система называется **устойчивой** тогда и только тогда, когда из того, что $\exists M_x : |x[k]| \leq M_x < \infty \forall k$, следует, что $\exists M_y : |y[k]| \leq M_y < \infty \forall k$. В противном случае система называется неустойчивой. Иными словами, для устойчивой системы отклик на любое ограниченное по величине входное воздействие является ограниченным. Пример неустойчивой системы: $y[k] = k$.

Критерий устойчивости LTI системы. Для того, чтобы LTI система была устойчивой необходимо и достаточно, чтобы ее импульсной характеристика была абсолютно суммируемой: $\sum_k |h[k]| < \infty$.

Доказательство.

Достаточность. Если для входа системы $x[k]$ выполнено $|x[k]| \leq M_x$, то для ее выхода $y[k]$

$$|y[k]| = \left| \sum_m h[m]x[k-m] \right| \leq \sum_m |h[m]x[k-m]| =$$

$$= \sum_m |h[m]| |x[k-m]| \leq M_x \sum_m |h[m]|$$

Необходимость. Покажем, что абсолютная суммируемость импульсной характеристики необходима для того, чтобы LTI система была устойчивой. Предположим, что $\sum_m |h[m]| = \infty$.

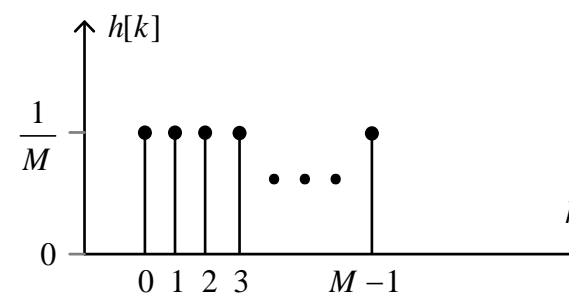
Подадим на вход такой системы входное воздействие $x[m] = \text{sing}(h[-m])$. Тогда для выхода в нулевой момент времени

$$y[0] = \sum_{m=-\infty}^{\infty} x[m]h[-m] = \sum_{m=-\infty}^{\infty} x[m]h[-m] = \sum_{m=-\infty}^{\infty} |h[m]| = \infty.$$

Значит, такая система будет неустойчива.

Заметим, что КИХ-фильтры всегда устойчивы.

Пример. Фильтр скользящего среднего



$$h[k] = \frac{1}{M} \sum_{m=0}^{M-1} \mathbf{1}[k-m],$$

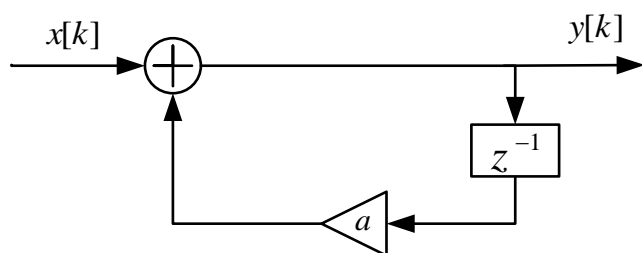
$$\sum_k |h[k]| = 1$$

Пример. Рекурсивный фильтр первого порядка.

Пример. Рекурсивный фильтр первого порядка.

Рассмотрим в качестве примера LTI систему с разностным уравнением

$$y[k] = ay[k-1] + x[k].$$



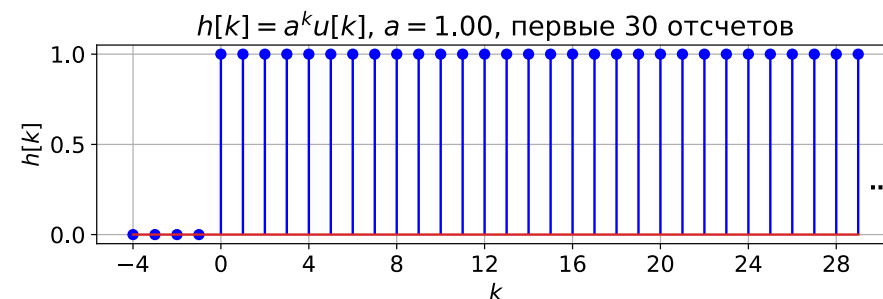
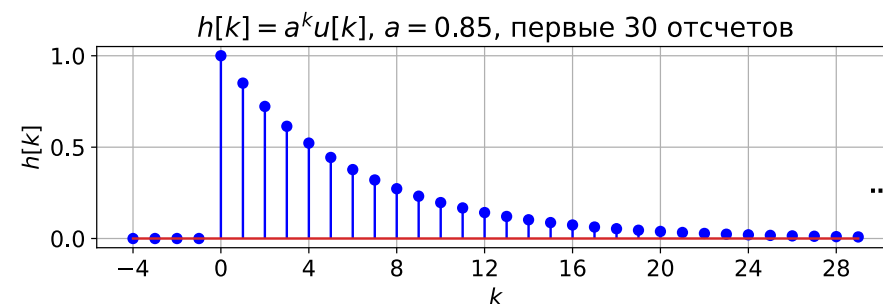
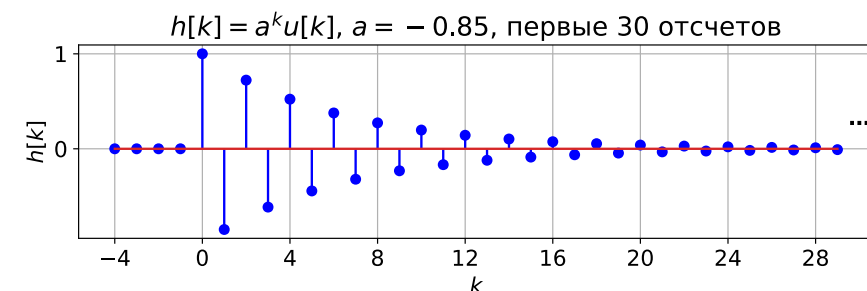
Подав на вход единичный импульс, нетрудно увидеть, что она имеет импульсную характеристику $h[k] = a^k u[k]$, где $u[k]$ - дискретная функция включения

$$u[k] = \begin{cases} 1, & k \geq 0; \\ 0, & k < 0. \end{cases}$$

Для всех $a \neq 0$ это фильтр с бесконечной импульсной характеристикой. Частотная характеристика

$$\begin{aligned} H(v) &= \sum_{k=-\infty}^{\infty} a^k u[k] e^{-j2\pi v k} = \sum_{k=0}^{\infty} a^k e^{-j2\pi v k} = \sum_{k=0}^{\infty} (ae^{-j2\pi v})^k \\ &= \frac{1}{1 - ae^{-j2\pi v}} \text{ при } |a| < 1. \end{aligned}$$

Заметим, что условие $|a| < 1$ также является критерием абсолютной суммируемости $h[k]$, и, следовательно, устойчивости такой системы.



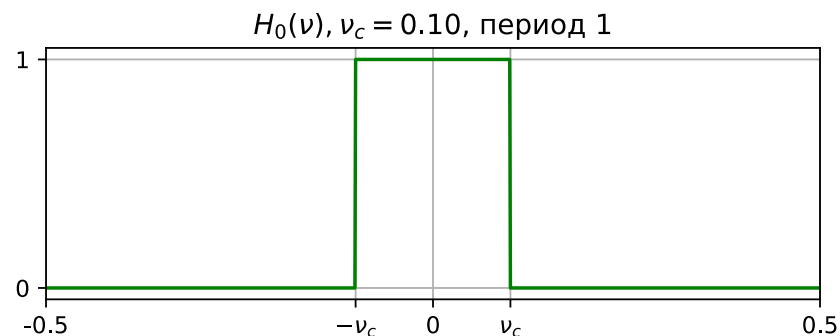
Идеальный фильтр нижних частот (ИФНЧ)

4.2. Идеальные частотно-избирательные цифровые фильтры

Идеальный фильтр нижних частот (ИФНЧ)

Рассмотрим идеальный фильтр нижних частот (ИФНЧ), частотная характеристика которого по переменной ν периодическая с периодом 1 и равна на промежутке $[-0.5; 0.5]$

$$H_0(\nu) = \begin{cases} 1, & |\nu| \leq \nu_c, \\ 0, & \nu_c < |\nu| \leq 0.5, \end{cases} \quad \text{при } |\nu| \leq 0.5.$$



Частота ν_c называется частотой среза, полоса частот $[-\nu_c, \nu_c]$ называется полосой пропускания (по этой причине в англоязычной литературе ФНЧ называется lowpass filter). Это фильтр с нулевой фазочастотной характеристикой, т.е.

$\varphi_0(\nu) = 0$, а значит, он не вносит никаких задержек во входной сигнал. Импульсная характеристика ИФНЧ

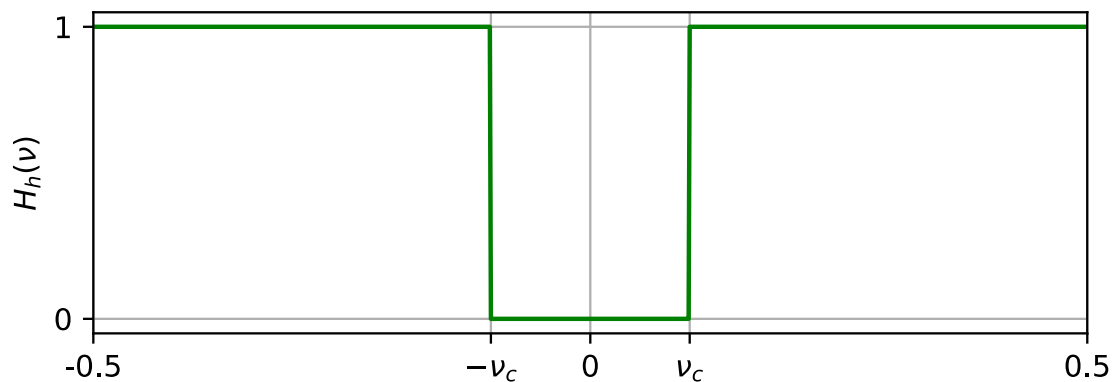
$$\begin{aligned} h_l[k] &= \int_{-1/2}^{1/2} H_0(\nu) e^{j2\pi\nu k} d\nu = \int_{-\nu_c}^{\nu_c} e^{j2\pi\nu k} d\nu = \int_{-\nu_c}^{\nu_c} \frac{e^{j2\pi\nu k}}{j2\pi k} d(j2\pi\nu k) = \\ &= \frac{1}{\pi k} \frac{e^{j2\pi\nu_c k} - e^{-j2\pi\nu_c k}}{2j} = \frac{\sin(2\pi\nu_c k)}{\pi k}. \end{aligned}$$



Заметим, что $h_l[k]$ некаузальна (не обращается тождественно в нуль при $k < 0$). Это означает, что идеальный фильтр нижних частот физически не реализуем в системе реального времени. Последовательность $h_l[k]$ не является абсолютно суммируемой, члены последовательности стремятся к нулю не быстрее, чем $1/k$. А это означает, что ИФНЧ неустойчив по входу.

Идеальный фильтр верхних частот, идеальный полосовой фильтр

Идеальный фильтр верхних частот



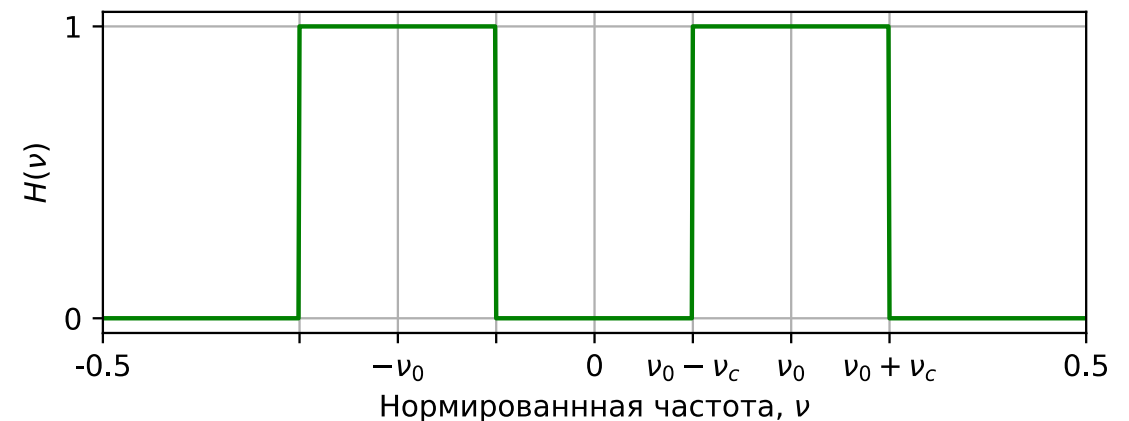
Для идеального фильтра верхних частот полоса $[-v_c, v_c]$ называется полосой задерживания (по этой причине в англоязычной литературе ФВЧ называется highpass filter). Частотная характеристика равна на промежутке $[-0.5; 0.5]$

$$H_h(v) = \begin{cases} 0, & |v| \leq v_c, \\ 1, & v_c < |v| \leq 0.5, \end{cases} \quad \text{при } |v| \leq 0.5.$$

Поскольку $H_h(v) = 1 - H_0(v)$, импульсная характеристика такого фильтра

$$h_h[k] = \mathbf{1}[k] - h_l[k] = \mathbf{1}[k] - \frac{\sin(2\pi v_c k)}{\pi k}.$$

Идеальный полосовой фильтр



Для идеального полосового фильтра некоторый диапазон частот $[v_1, v_2] \subset [0, 0.5]$ является полосой пропускания (bandpass filter). Пусть $[v_1, v_2] = [v_0 - v_c, v_0 + v_c]$. Тогда частотная характеристика равна на промежутке $[-0.5; 0.5]$

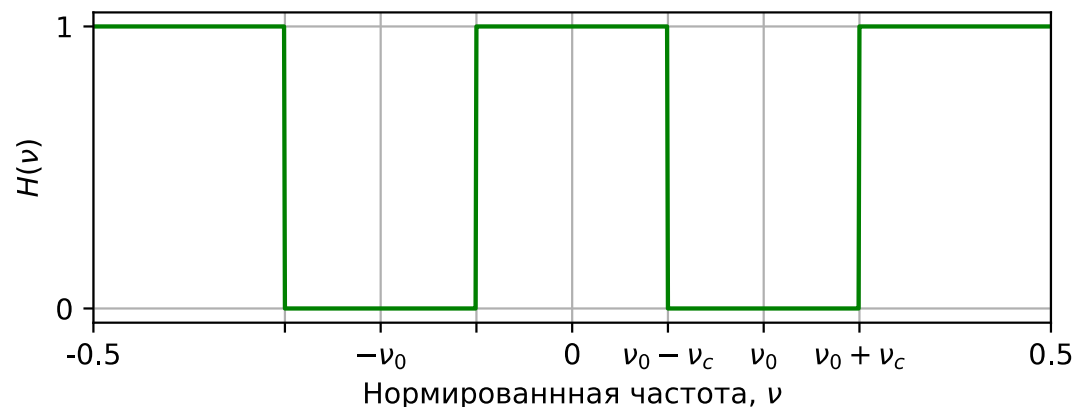
$$H_{bp}(v) = \begin{cases} 1, & |v \pm v_0| \leq v_c, \\ 0, & |v \pm v_0| > v_c, \end{cases} \quad \text{при } |v| \leq 0.5.$$

В итоге $H_{bp}(v) = H_0(v - v_0) + H_0(v + v_0)$. Используя свойства ДВПФ, получаем выражение для импульсной характеристики такого фильтра

$$h_h[k] = 2 \cos(2\pi v_0 k) h_l[k] = 2 \cos(2\pi v_0 k) \frac{\sin(2\pi v_c k)}{\pi k}.$$

Идеальный режекторный фильтр, каузальная аппроксимация ИФНЧ

Идеальный режекторный фильтр



Для идеального режекторного фильтра некоторый диапазон частот $[\nu_1, \nu_2] \subset [0, 0.5]$ является полосой задерживания (bandstop filter). Пусть $[\nu_1, \nu_2] = [\nu_0 - \nu_c, \nu_0 + \nu_c]$. Тогда частотная характеристика равна на промежутке $[-0.5; 0.5]$

$$H_{bs}(\nu) = \begin{cases} 0, & |\nu \pm \nu_0| \leq \nu_c, \\ 1, & |\nu \pm \nu_0| > \nu_c, \end{cases} \quad \text{при } |\nu| \leq 0.5.$$

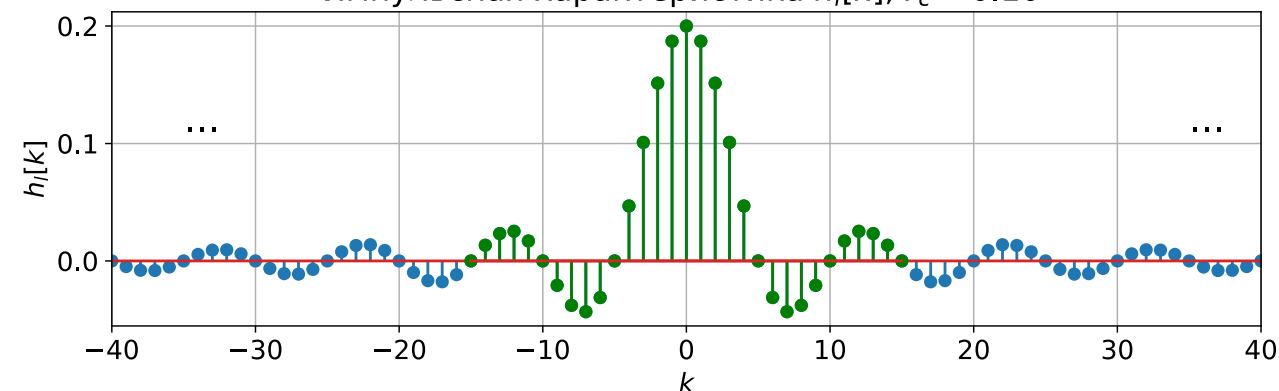
Реализация каузальной аппроксимации ИФНЧ

Возьмём из импульсной характеристики лишь $2N+1$ отсчет (от $-N$ до N), и двинем ее на N вправо. Мы получим импульсную характеристику

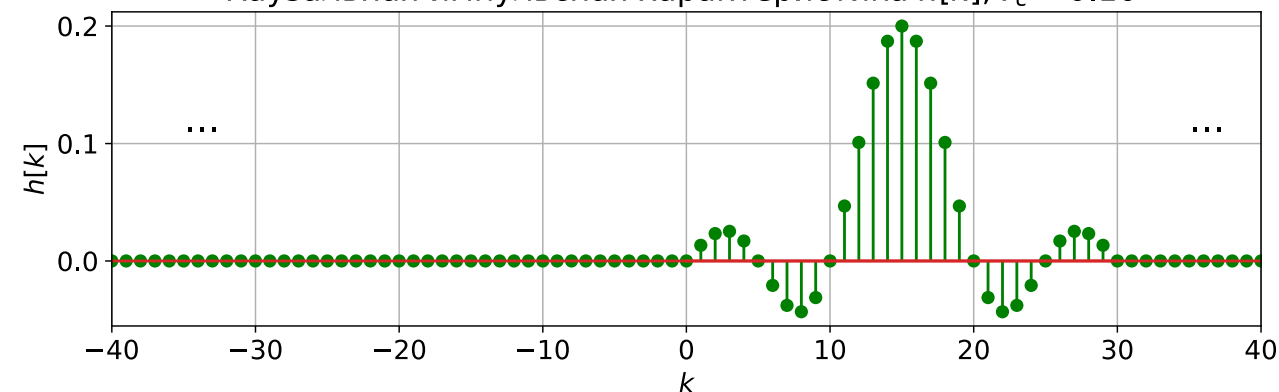
$$h[k] = \begin{cases} \frac{\sin(2\pi\nu_c(k-N))}{\pi(k-N)}, & \text{при } |k-N| \leq N, \\ 0, & \text{при } |k-N| > N, \end{cases}$$

которая соответствует КИХ-фильтру (он будет устойчив и реализуем).

Импульсная характеристика $h_l[k]$, $\nu_c = 0.10$



Каузальная импульсная характеристика $h[k]$, $\nu_c = 0.10$



Явление Гиббса

Частотная характеристика: сходимость в среднеквадратичном и явление Гиббса

Частотная характеристика усеченного ФНЧ **до введения задержки** определяется как ДВПФ от импульсной характеристики

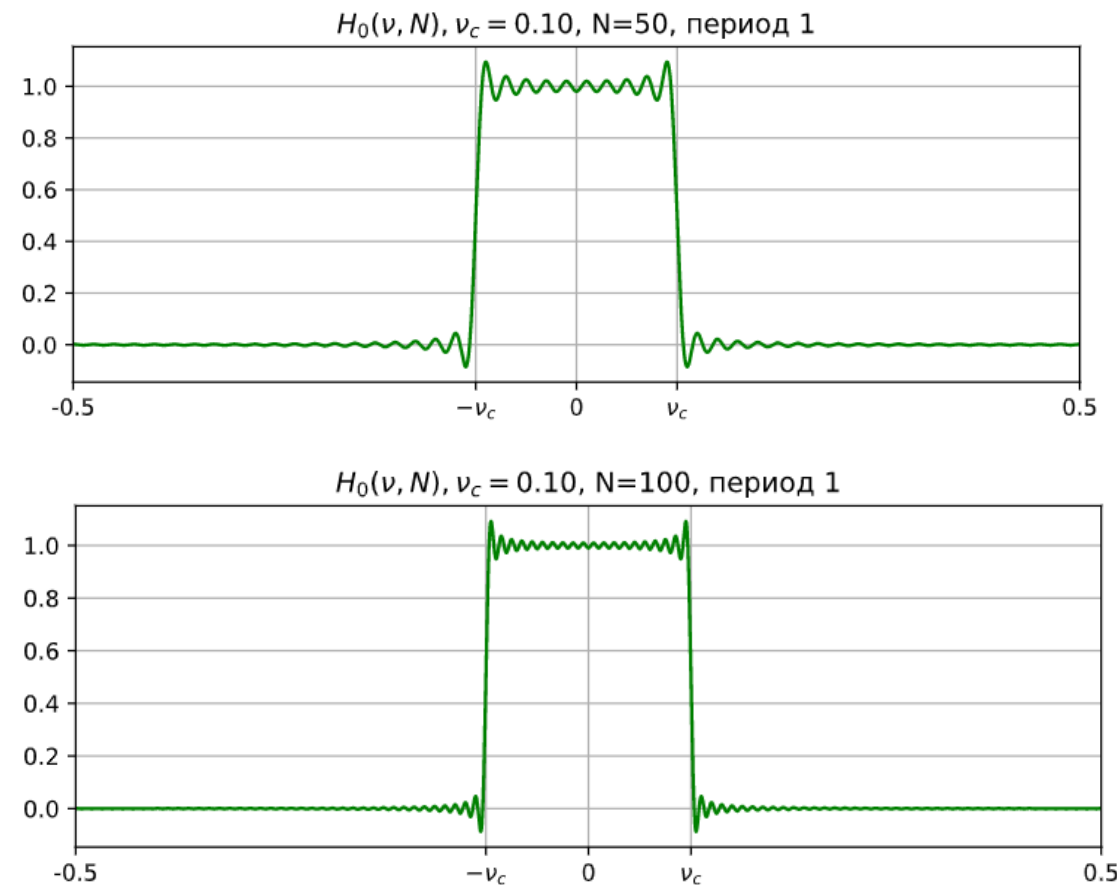
$$H_0(\nu, N) = \sum_{k=-N}^N \frac{\sin(2\pi\nu_c k)}{\pi k} e^{-j2\pi\nu k}.$$

В силу симметрии исходной импульсной характеристики относительно нуля, $H_0(\nu, N)$ принимает лишь действительные значения. В соответствии с теоремой запаздывания частотная характеристика $H(\nu)$ рассматриваемого каузального фильтра отличается от $H_0(\nu, N)$ лишь фазовой частью: $H(\nu) = H_0(\nu, N)e^{-j2\pi\nu N}$.

$$H_0(\nu, N) = \sum_{k=-N}^N \frac{\sin(2\pi\nu_c k)}{\pi k} e^{-j2\pi\nu k}.$$

$H_0(\nu, N)$ сходится к $H_0(\nu)$ в среднеквадратичном:

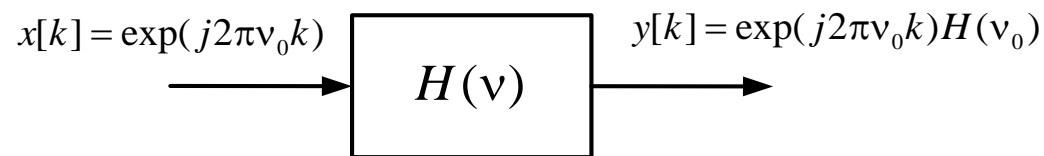
$$\lim_{N \rightarrow \infty} \int_{-1/2}^{1/2} |H_0(\nu) - H_0(\nu, N)|^2 d\nu = 0.$$



Даже достаточно больших N мы наблюдаем пульсации вблизи точек разрыва $H_0(\nu)$, причем они принципиально не устранимы с ростом N . Этот эффект называется явлением Гиббса.

Фильтрация гармонических сигналов идеальными фильтрами

Фильтрация гармонических сигналов идеальными фильтрами



$$\begin{aligned} y[k] &= \exp(j2\pi\nu_0 k) \otimes h[k] = \sum_{m=-\infty}^{\infty} h[m]x[k-m] = \\ &= \sum_{m=-\infty}^{\infty} h[m]\exp(j2\pi\nu_0(k-m)) = \\ &= \exp(j2\pi\nu_0 k) \sum_{m=-\infty}^{\infty} h[m]\exp(-j2\pi\nu_0 m) = \exp(j2\pi\nu_0 k)H(\nu_0) \end{aligned}$$

Пусть $H(\nu_0) = |H(\nu_0)| \exp(j\theta) = A \exp(j\theta)$.

Изменение амплитуды

- при $A > 1$ происходит усиление сигнала,
- при $0 \leq A < 1$ происходит ослабление.

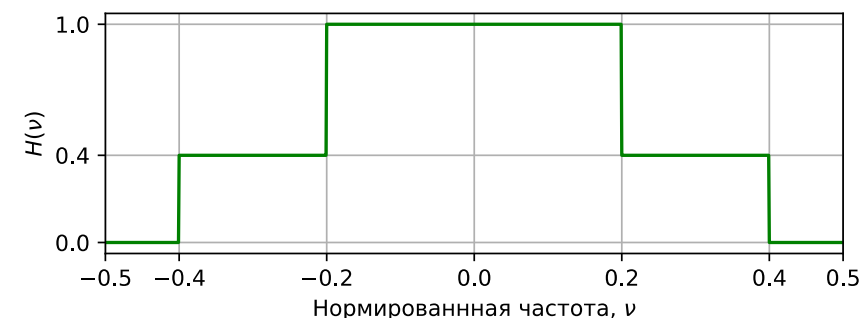
Изменение фазы

- при $\theta < 0$ происходит задержка по фазе,
- при $\theta = 0$ задержки нет.

Реальные фильтры – каузальные системы, а значит обрабатывают каузальные сигналы.

Пример. Найдём отклик фильтра частотной характеристикой $H(\nu)$ на входное воздействие

$$x[k] = \cos(2\pi\nu_1 k) + \cos(2\pi\nu_2 k), \nu_1 = 0.1, \nu_2 = 0.3.$$



Используя вывод, полученный выше, получаем

$$\begin{aligned} y[k] &= H(\nu_1)\cos(2\pi\nu_1 k) + H(\nu_2)\cos(2\pi\nu_2 k) = \\ &= \cos(2\pi\nu_1 k) + 0.4\cos(2\pi\nu_2 k) \end{aligned}$$

С другой стороны, спектр входного сигнала:

$$\begin{aligned} X(\nu) &= \sum_{m=-\infty}^{\infty} \frac{1}{2} \delta(\nu - \nu_1 + m) + \frac{1}{2} \delta(\nu + \nu_1 + m) + \\ &+ \frac{1}{2} \delta(\nu - \nu_2 + m) + \frac{1}{2} \delta(\nu + \nu_2 + m) \end{aligned}$$

Фильтрация гармонических сигналов идеальными фильтрами

Спектр выходного сигнала (отклика) равен произведению спектра входного и частотной характеристики фильтра

$$Y(\nu) = X(\nu)H(\nu)$$

$$\sum_{m=-\infty}^{\infty} x[m]h[k-m] \overset{\text{ДВПФ}}{\leftrightarrow} X(\nu)H(\nu).$$

$$Y(\nu) = X(\nu)H(\nu)$$

Спектр сигнала на выходе системы:

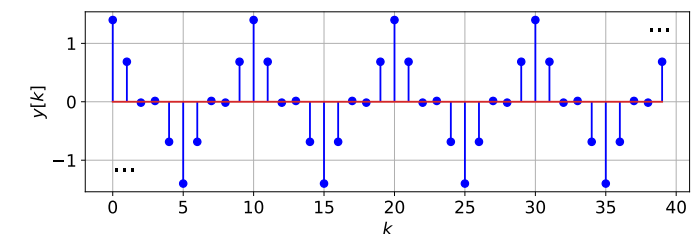
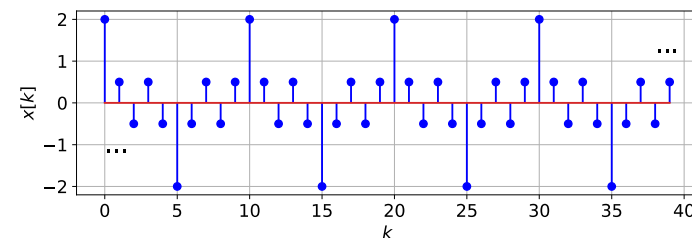
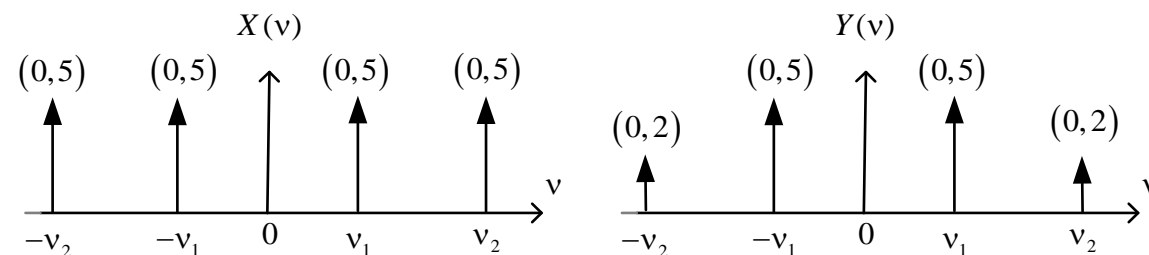
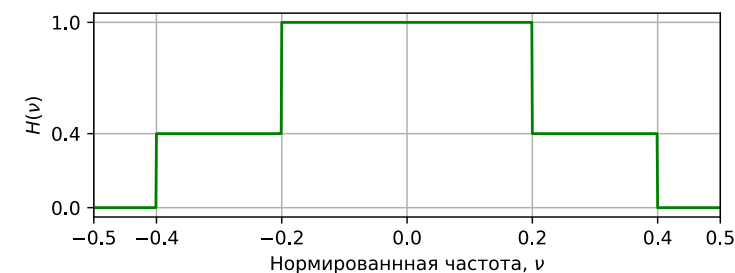
$$\begin{aligned} Y(\nu) &= X(\nu)H(\nu) = \sum_{m=-\infty}^{\infty} H(\nu_1) \frac{1}{2} \delta(\nu - \nu_1 + m) + H(-\nu_1) \frac{1}{2} \delta(\nu + \nu_1 + m) + \\ &+ H(\nu_2) \frac{1}{2} \delta(\nu - \nu_2 + m) + H(-\nu_2) \frac{1}{2} \delta(\nu + \nu_2 + m) = \\ &= \sum_{m=-\infty}^{\infty} 0,5 \delta(\nu - \nu_1 + m) + 0,5 \delta(\nu + \nu_1 + m) + \\ &+ 0,2 \delta(\nu - \nu_2 + m) + 0,2 \delta(\nu + \nu_2 + m) \end{aligned}$$

Используя свойство

$$\exp(j2\pi\nu_0 k), -\infty < k < +\infty \overset{DTFT}{\leftrightarrow} \sum_{n=-\infty}^{\infty} \delta(\nu - \nu_0 - n),$$

обратным ДВПФ получаем отклик системы

$$y[k] = \cos(2\pi\nu_1 k) + 0,4 \cos(2\pi\nu_2 k)$$



Задачи для самостоятельного решения с лекции 14 октября 2024 г.

№1. Используя теорему о свертке во временной области для ДВПФ, определите линейную дискретную свертку последовательностей

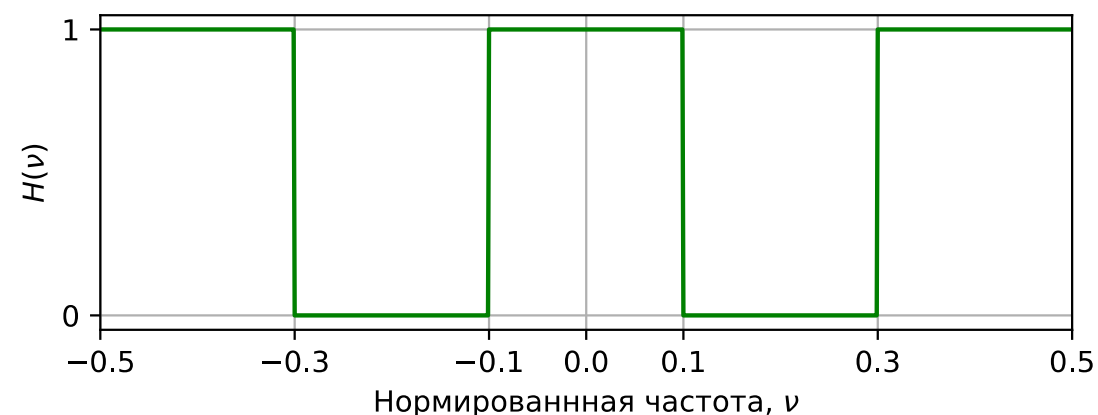
$$h[k] = \frac{\sin(2\pi\nu_c k)}{\pi k}, \nu_c = 0.2,$$

$$x[k] = \cos(2\pi\nu_1 k) + \cos(2\pi\nu_2 k), \nu_1 = 0.1, \nu_2 = 0.3.$$

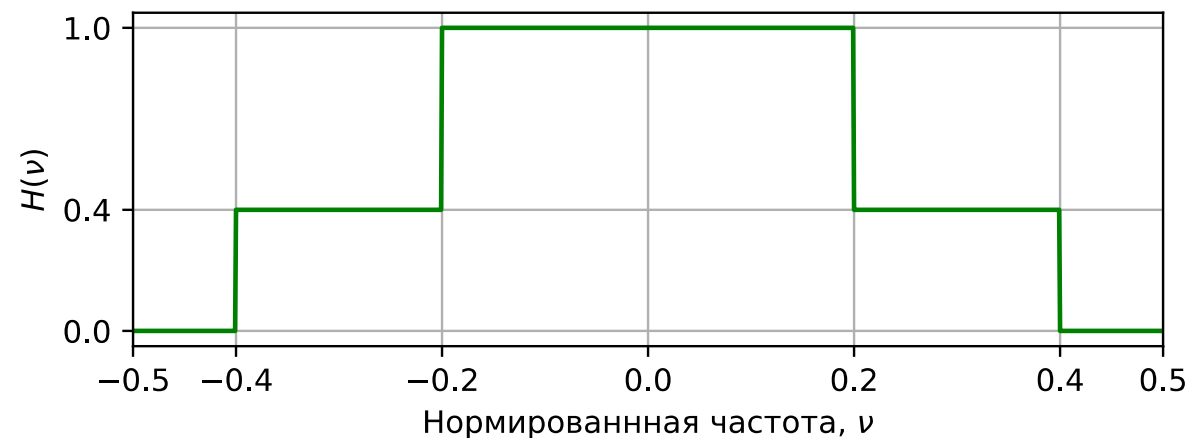
Интерпретируйте результат как прохождения сигнала $x[k]$ через фильтр с импульсной характеристикой $h[k]$. Является ли такой фильтр $h[k]$ физически реализуемым в реальном времени?

№2. Запишите импульсные характеристики перечисленных ниже фильтров. Являются ли такие фильтры физически реализуемыми в реальном времени?

а) Идеальный режекторный фильтр, частотная характеристика которого изображена на рисунке.



б) Идеальный фильтр с нулевой фазовой задержкой, частотная характеристика которого изображена на рисунке.



Задачи с лекции

№3. Определить реакцию на входное воздействие

$$x[k] = \cos(2\pi\nu_1 k) + \cos(2\pi\nu_2 k), \nu_1 = 0.1, \nu_2 = 0.3.$$

системы с нулевой фазовой задержкой и амплитудно-частотной характеристикой, изображённой на рисунке (частотная характеристика принимает неотрицательные значения).

